

武藏工業大学 正会員 星谷 勝  
武藏工業大学 学生員 山崎亮弘

フジタ工業 正会員 斎藤悦郎  
武藏工業大学 学生員 ○丸山 岷

### 1. はじめに

液状化現象の効果的な解析法に有効応力解析法がある。この方法はこの細かく各要因を組み込んだモデル地盤に対する解析法であり、実現象を適確に表現できるものと思われるが、計算が複雑で、影響要因の出力へ与える定量的評価が困難なものとなる。本研究は、地盤応答を支配する物理量として「せん断ひずみエネルギー」<sup>\*4)</sup>を提案した。そしてこの物理量をパラメータとして、液状化発生過程の複雑な現象を軟化を伴う等価な線形モデルで表現した。最後にこの線形モデルを用いれば、等価線形化法により、液状化の予測が可能であることを明かにした。

### 2. 応答観測データ

対象地盤は、1自由度系の非排水飽和砂質地盤とした(図-1)。この地盤に対して、有効応力解析法を用いて、応答観測データを作成した。入力波形は、0.01~5 Hzの有葉域ホワイトノイズ5本(最大加速度30 cm/sec<sup>2</sup>; W30 等と記号で示す)、最大加速度振幅100 cm/sec<sup>2</sup>のホワイトノイズ5本形状閾数を用いて振幅の非対称性を持たせた波形EW100及び実地震波、Millikan Library NS.com; R1, Managua Nicaragua NS.com; R2, El Centro NS.com; R3の計9本とした。これらの入力波形に対して、それぞれ間隙水圧比 $\epsilon$ とせん断ひずみエネルギー $E_r$ の関係を図-2に示した。この図から、多少バラツキはあるものの1つの曲線で表され、せん断ひずみエネルギー量を知ることで間隙水圧比を推定できることがわかる。尚せん

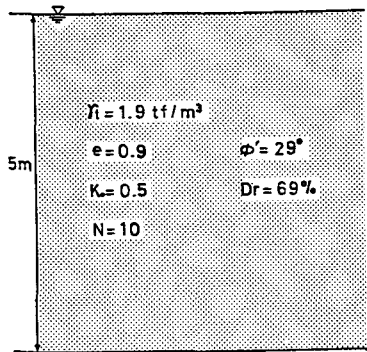


図-1 解析用対象地盤

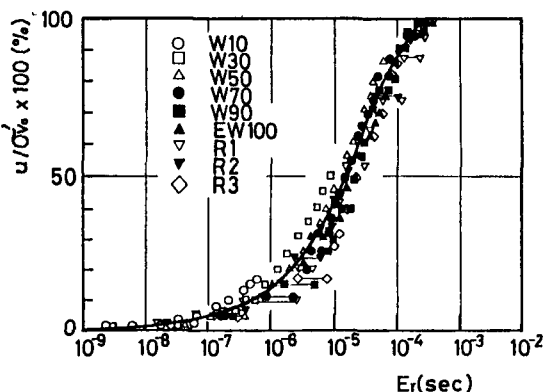


図-2. 間隙水圧比-せん断ひずみエネルギーの瞬時変化

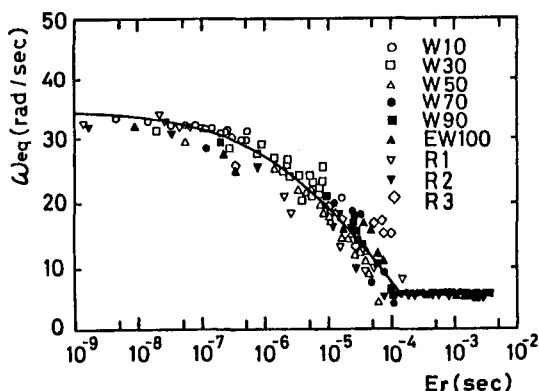


図-3  $\omega_{E_r}$ - $E_r$ 曲線

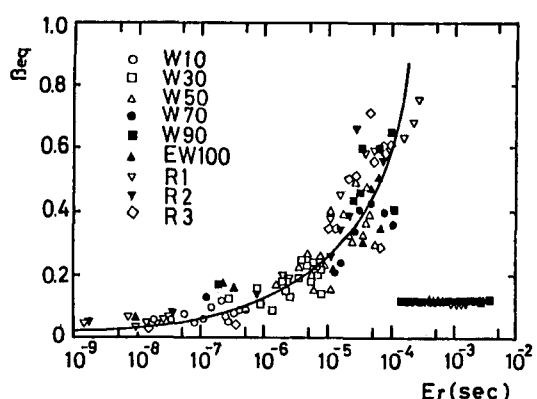


図-4  $\epsilon_{E_r}$ - $E_r$ 曲線

せん断ひずみエネルギー量は、

$$E_d = \int_0^t \gamma(t) dt ; \quad \gamma(t) \text{ は時間 } t \text{ におけるせん断ひずみと定義した。}$$

### 3. 等価線形モデルを用いた地盤の同定

次に観測データを軟化を伴う等価線形系の入出力データと見なし、等価線形モデルを構成する特性値である固有円振動数  $\omega_{eq}$  と減衰定数  $\beta_{eq}$  を同定した。同定手法は、制御理論の拡張カルマンフィルターである。<sup>\*2), 3)</sup> 同定された特性値は、図-3, 4 に示すように入力波形特性に關係なく、せん断ひずみエネルギーの関数として表現できることを示している。以上により、等価線形モデルで液状化発生過程の動特性を表現することができた。

### 4. 液状化の簡易予測法

図-3, 4 及び図 2 の曲線を用いて液状化の予測を行なう。まず初期の  $\beta_{eq}$ ,  $\omega_{eq}$  を用いて、継続時間  $T_d$  の入力波形に対する線形 1 自由度系の応答を求め、せん断ひずみエネルギーの蓄積量を算出する。図-3, 4 の曲線から算出されたせん断ひずみエネルギーに対応した  $\omega_{eq}$ ,  $\beta_{eq}$  を求める。これらの値が初期値と異なるときは、これらの  $\omega_{eq}$ ,  $\beta_{eq}$  を採用して再び同様の計算を行ない、せん断ひずみエネルギーを計算する。図-3, 4 に戻り、対応する  $\omega_{eq}$ ,  $\beta_{eq}$  を求める。もし  $\omega_{eq}$ ,  $\beta_{eq}$  が異なるならば、再度同様の計算を収斂するまで繰返す。以上等価線形化法によて得られたせん断ひずみエネルギー量を用い、図-2 の対応する間隙水圧比を求める。このようす方法で継続時間  $T_d$  での液状化予測ができるわけである。図-5, 6 は、それぞれ W10,  $T_d=15\text{ sec}$ , R1,  $T_d=8\text{ sec}$  の入力波形に対して、等価線形化法の収斂過程を示したものである。次に本方法の検証のために 18 ケースの入力波形に対して有効応力解析法による時間  $T_d$  でのせん断ひずみエネルギー、間隙水圧比との比較を行なう。表-1。この表から本方法は、有効応力解析法と良い対応を示すことがわかる。このことから等価線形化法を用いて液状化の予測が可能であることが明らかになつた。

### \*参考文献

- 1) Finn, W.D.L, 他: An effective stress model for liquefaction, Proc. ASCE, Vol. 103, No. GT6, 1977.
- 2) Jazrawi, A.H.: Stochastic Process and Filtering Theory, Academic Press 1970
- 3) 星谷勝, 青藤悦郎: 拡張カルマンフィルターを用いた同定問題の各種振動系への応用, 工論集 提携号
- 4) 星谷勝, 青藤悦郎: 液状化(2)地盤の等価線形化, 土論集 提携号,

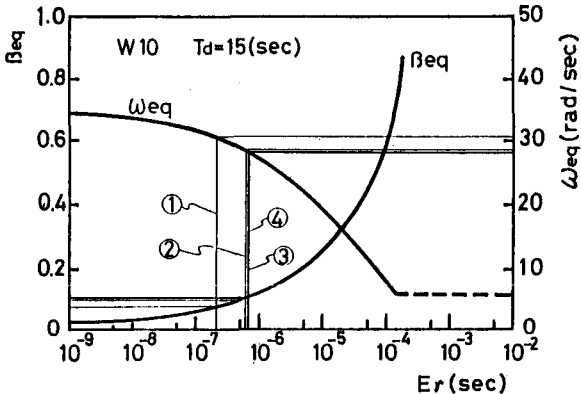


図-5  $\omega_{eq}$ ,  $\beta_{eq}$ - $E_d$  曲線 (W10,  $T_d=15\text{ sec}$  の場合)

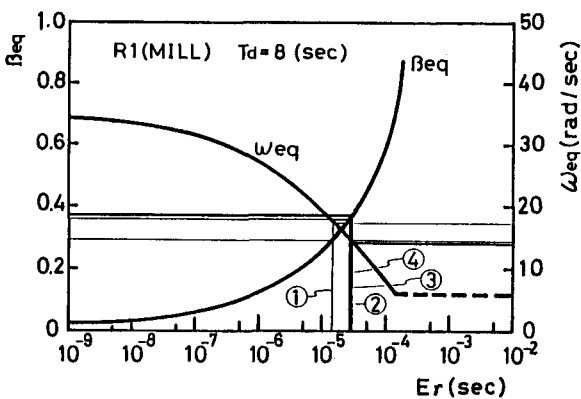


図-6  $\omega_{eq}$ ,  $\beta_{eq}$ - $E_d$  曲線 (R1,  $T_d=8\text{ sec}$  の場合)

表-1 等価線形化法と有効応力解析法との比較

Input Wave		Equivalent Linearization Method		Effective Stress Method		
CASE	Td	IT	EY	U/σv'	EY	U/σv'
W10	5	4	$1.88 \times 10^{-7}$	0.060	$1.67 \times 10^{-7}$	0.037
W10	15	4	$7.02 \times 10^{-7}$	0.110	$5.94 \times 10^{-7}$	0.163
W30	5	3	$1.84 \times 10^{-6}$	0.215	$1.65 \times 10^{-6}$	0.233
W30	15	4	$1.08 \times 10^{-3}$	0.450	$9.45 \times 10^{-4}$	0.506
W50	5	5	$7.57 \times 10^{-6}$	0.345	$6.91 \times 10^{-6}$	0.384
W50	10	6	$3.31 \times 10^{-5}$	0.680	$3.09 \times 10^{-5}$	0.697
W70	2	5	$8.83 \times 10^{-6}$	0.400	$9.90 \times 10^{-6}$	0.380
W70	10	6	$2.08 \times 10^{-4}$	0.990	$2.62 \times 10^{-4}$	0.996
W90	1	6	$6.37 \times 10^{-6}$	0.340	$8.58 \times 10^{-6}$	0.274
W90	6	8	$9.18 \times 10^{-5}$	0.880	$1.11 \times 10^{-4}$	0.901
EW100	1	4	$2.14 \times 10^{-7}$	0.068	$2.26 \times 10^{-7}$	0.060
EW100	6	7	$6.80 \times 10^{-5}$	0.825	$7.42 \times 10^{-5}$	0.802
R1	5	6	$4.98 \times 10^{-6}$	0.310	$5.75 \times 10^{-6}$	0.267
R1	8	4	$3.00 \times 10^{-5}$	0.680	$5.53 \times 10^{-5}$	0.717
R2	1	2	$7.23 \times 10^{-6}$	0.038	$6.01 \times 10^{-6}$	0.044
R2	6	6	$7.10 \times 10^{-5}$	0.840	$1.48 \times 10^{-4}$	0.936
R3	2	5	$1.51 \times 10^{-6}$	0.170	$4.99 \times 10^{-6}$	0.172
R3	10	6	$1.00 \times 10^{-4}$	0.880	$7.48 \times 10^{-5}$	0.789

Td : Time duration

IT : Iteration Time